

Hepatite auto-imune

Gilda Porta

Unidade de Hepatologia
Instituto da Criança
HC-FMUSP



Instituto da Criança
Hospital das Clínicas - FMUSP

Doenças hepáticas auto-imunes



Hepatite auto-imune

- Causa desconhecida
- Fatores genéticos e ambientais estão implicados
- Doença inflamatória progressiva
- Associação com outras doenças auto-imunes

Prevalência

Adultos

- USA: 1/200,000
- Noruega: 17/100,000
- Espanha: 20/100,000 (> 14 years of age)
- Brasil: 1999 – 600 casos reportados em 5 anos
5-10% das doenças hepáticas
4% - listados para Tx hepático

Geographical variation in the frequency and characteristics of autoimmune liver diseases

*Nishioka M; Morshed AS, McFarlane ig, Vergani D
Homberg JC, Penner E; Socha J; Porta G*

Table 2

Incidence of autoimmune liver diseases in children

	Incidence (100,000/year)	Median age at diagnosis	F:M ratio	Clinical features	Concurrent immunologic disorder	Histology
Brazil (Porta et al.)						
AIH type I (n = 58)	0.04	8.7±2.57 (3.3–13.8)	4:1	Acute: 68.9% Insidious: 31.1%	UC: 1.6% Purpura: 1.6% GNP: 1.6% Hematuria: 3.3%	CAH: 26.3% Cirrhosis: 64.9% Others: 8.8%
AIH type II (n = 19)	0.01	4.6±3.8 (2–11.7 years)	18:1	Acute: 79% Insidious: 15.8% Others: 5.2%	Thyroiditis: 26.1% Diabetes type 1: 10.5% Vitiligo: 5.2% Hematuria: 5.2% IgA deficiency: 5.2% Weber's panniculitis: 5.2%	CAH: 42.1% Cirrhosis: 52.6% Others: 5.3%
PSC (n = 16)	0.008	6.5±4.52 (0.5–13.8 years)	1:1.6	Asymptomatic: 50% Symptomatic: 50% Neonatal onset: 25%	UC: 27.2% Crohn's disease: 4.5% Diabetes: 4.5% Immunodeficiency: 9%	CAH: 15.7% Cirrhosis: 57.9% Others: 26.4%

Autoimmune liver disease eds Krawitt EL;Wiesner RH, Nishioka 1998

Frequência e tipos de doenças auto-imunes na infância

Inglaterra - Mieli-Vergani G. et al, 2002

Doenças	Prevalência Centro de referência
Hepatite auto-imune	1,2%
Colangite esclerosante 1 ^{ária}	1,1%
HAI “de novo” pós tx hepático	4%

Hepatite auto-imune

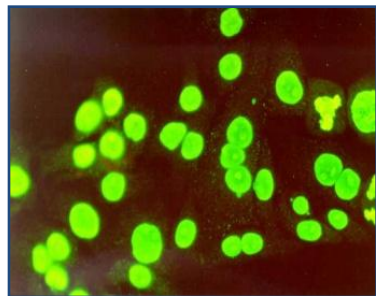
Características

- Prevalência no sexo feminino
- Hipergamaglobulinemia
- Auto-anticorpos circulantes
- Infiltrado inflamatório portal linfoplasmocitário associado
à necrose em saca-bocados (hepatite de interface)
- Resposta satisfatória à terapêutica imunossupressora
- Associação com os抗ígenos do MHC
- Excluir etiologia viral, metabólica, genética e tóxica de
lesão hepática crônica

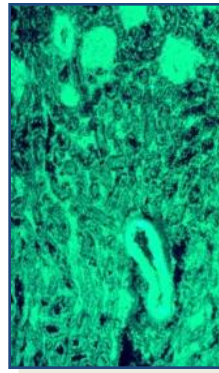
Hepatite auto-imune

Classificação

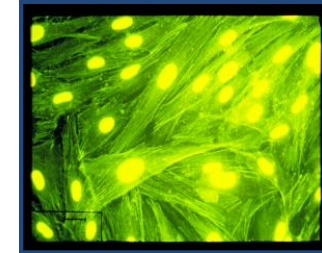
Tipo 1: AAN, AAML



Miescher et al., 1954

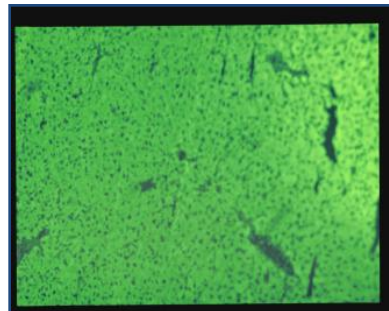


Johnson et al. 1965

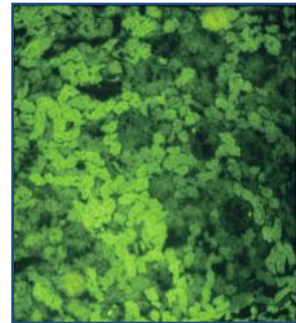


Gabbiani et al., 1972

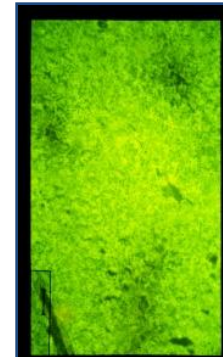
Tipo 2: ALKM1,
AACH1



Rizetto et al., 1973



Martini et al., 1998



Hepatite auto-imune

Classificação

Autoanticorpos	I. Criança n = 111	King's College n = 52
AML / FAN	87 (78.4%)**	32 (61.5%)
Anti-LMK1	22 (19.8%)*	20 (38.5%)
Seronegativo	2 (1.8%)	

* 2 – anti-LC1 +ve ** 6 – SLA+ve

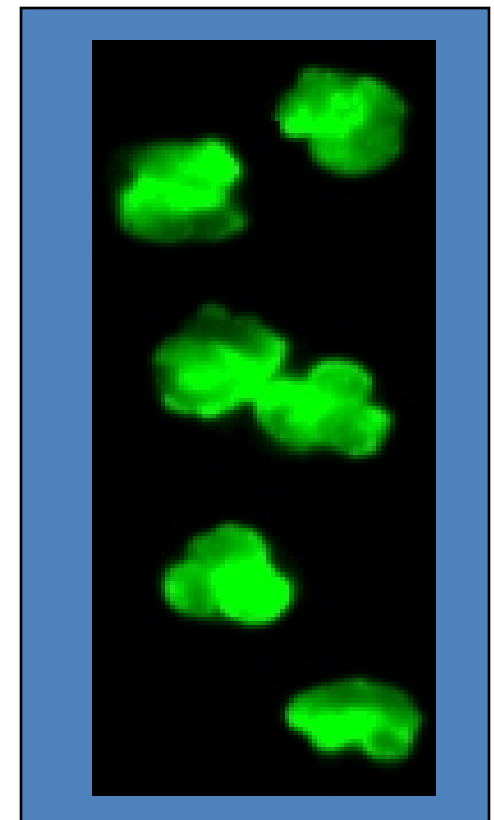
Auto-anticorpos e auto-antígenos

Tipos	auto-anticorpos	antígenos-alvo
1	AAN e/ou AML	nucleares proteínas do citoesqueleto
2	AAMFR e/ou ACH 1	CYP2D6 formiminotransferase ciclodeaminase
3	A-SLA/AFP	proteína associada ao tRNA repressor UGA

Anticorpo anti-citoplasma de neutrófilos de padrão perinuclear atípico (ANCA)

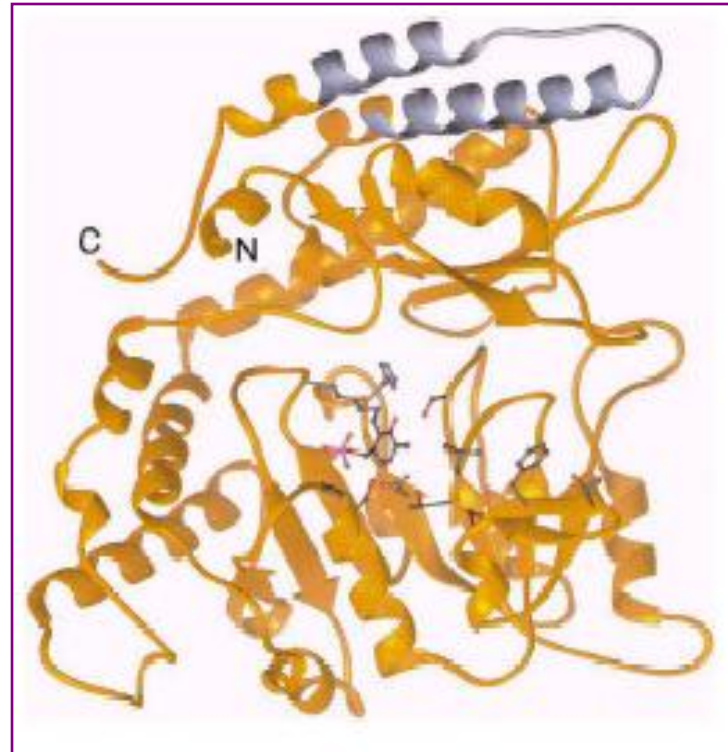
(Anticorpo antinuclear periférico antineutrófilo)

- Hepatite Auto-imune - 74%
- Cirrose Biliar primária - 26%
- Colangite Esclerosante Primária - 60%
- Auto-antígenos
 - tubulina B isotipo 5



HAI tipo 3

- Presença de anti-SLA/FP
- Frequentemente associado com anti-AML e AM
- Único marcador em 20-26% dos casos
- Mais comum em mulheres jovens (idade 20 - 40a)



- 50 kDa
- 474 aa
- tRNA (Ser) Sec

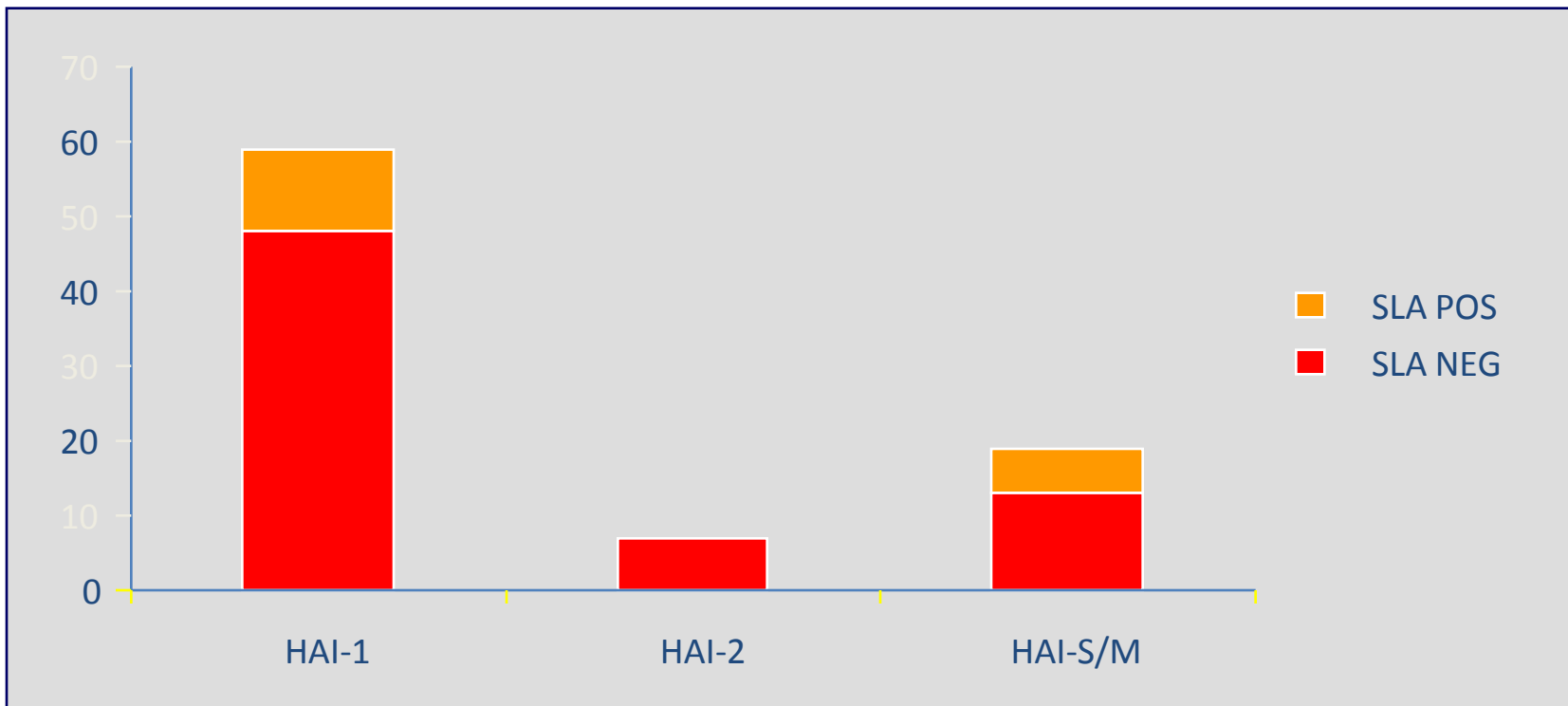
HAI tipo 3

- Características clínicas, bioquímicas, histológicas e prognóstico semelhantes ao tipo 1
- Recorrência pós suspensão CE ou durante a manutenção mais comum nos pacientes com anti-SLA/FP

País	Freqüência anti-SLA/FP	
EUA	23/149	15%
<i>Brasil</i>	23/132	17%
Alemanha	21/108	19%
Japão	2/30	7%

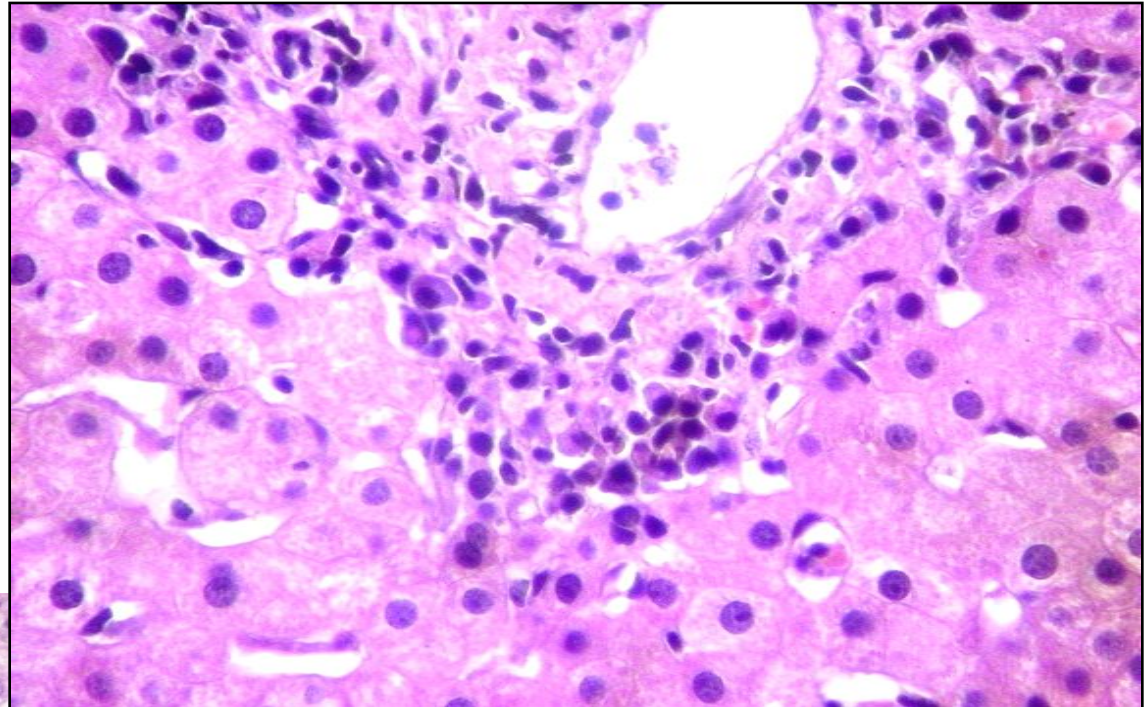
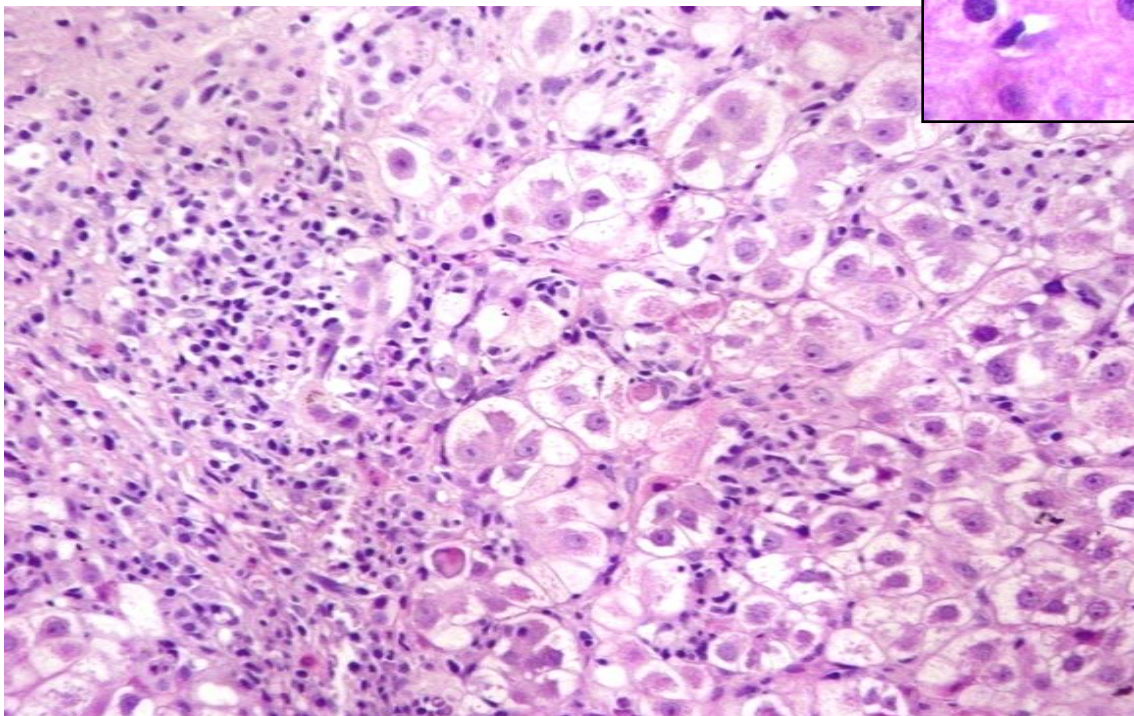
Anti SLA

Ambulatório de Hepatopatias Auto-imunes e Metabólicas do HC-FMUSP - ICR



Hepatite auto-imune

plasmócitos



rosetas

Patogênese

Células T auto-reactivas

Fatores genéticos



Fatores ambientais
(drogas, subst químicas,
nutrientes)

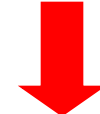


Mimetismo
molecular
Infecções
Retrovírus?

Ativação das células T
auto-reactivas



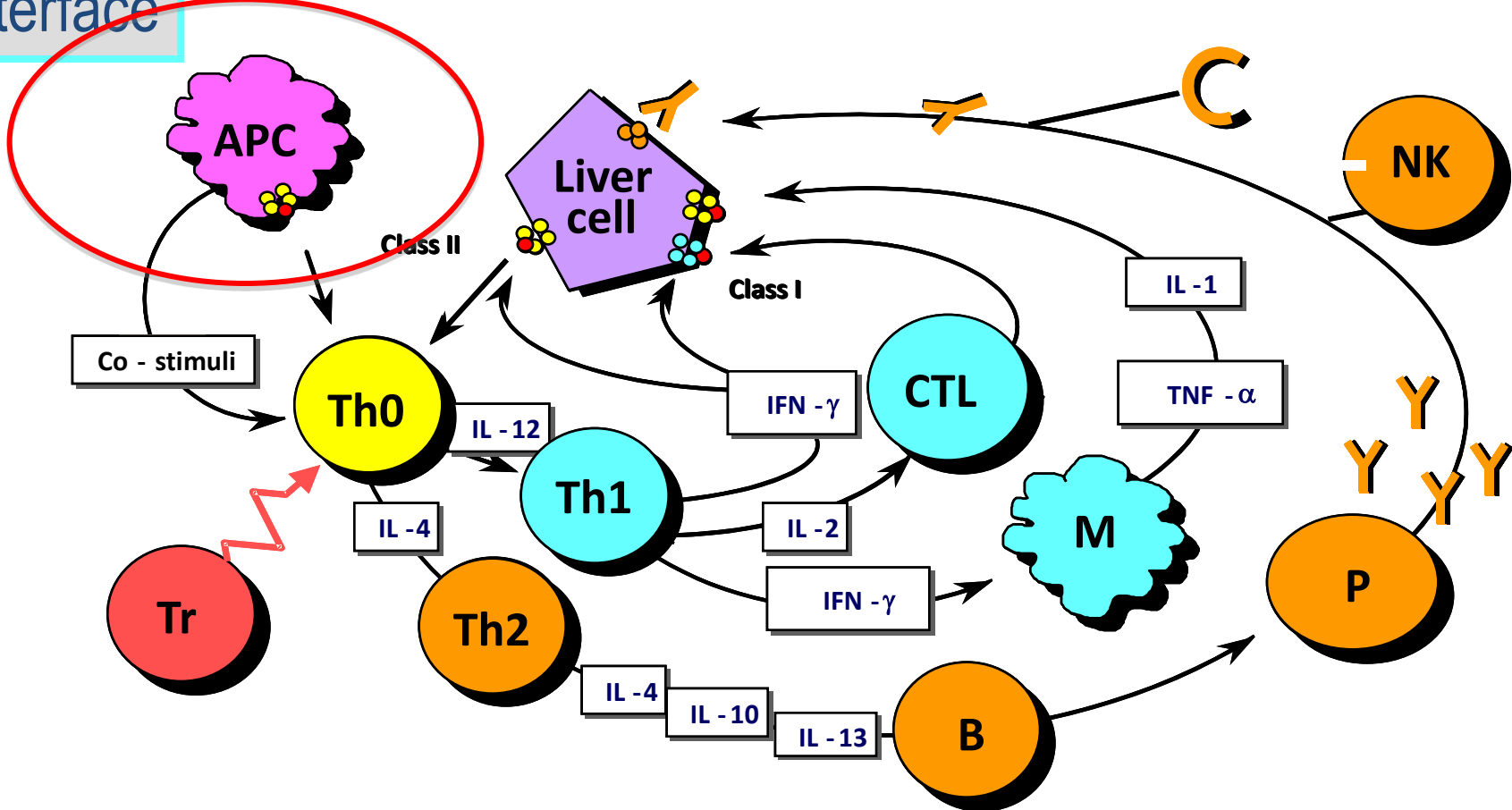
Microambiente do órgão



AUTOIMUNIDADE

Hepatite auto-imune

Hepatite
de interface



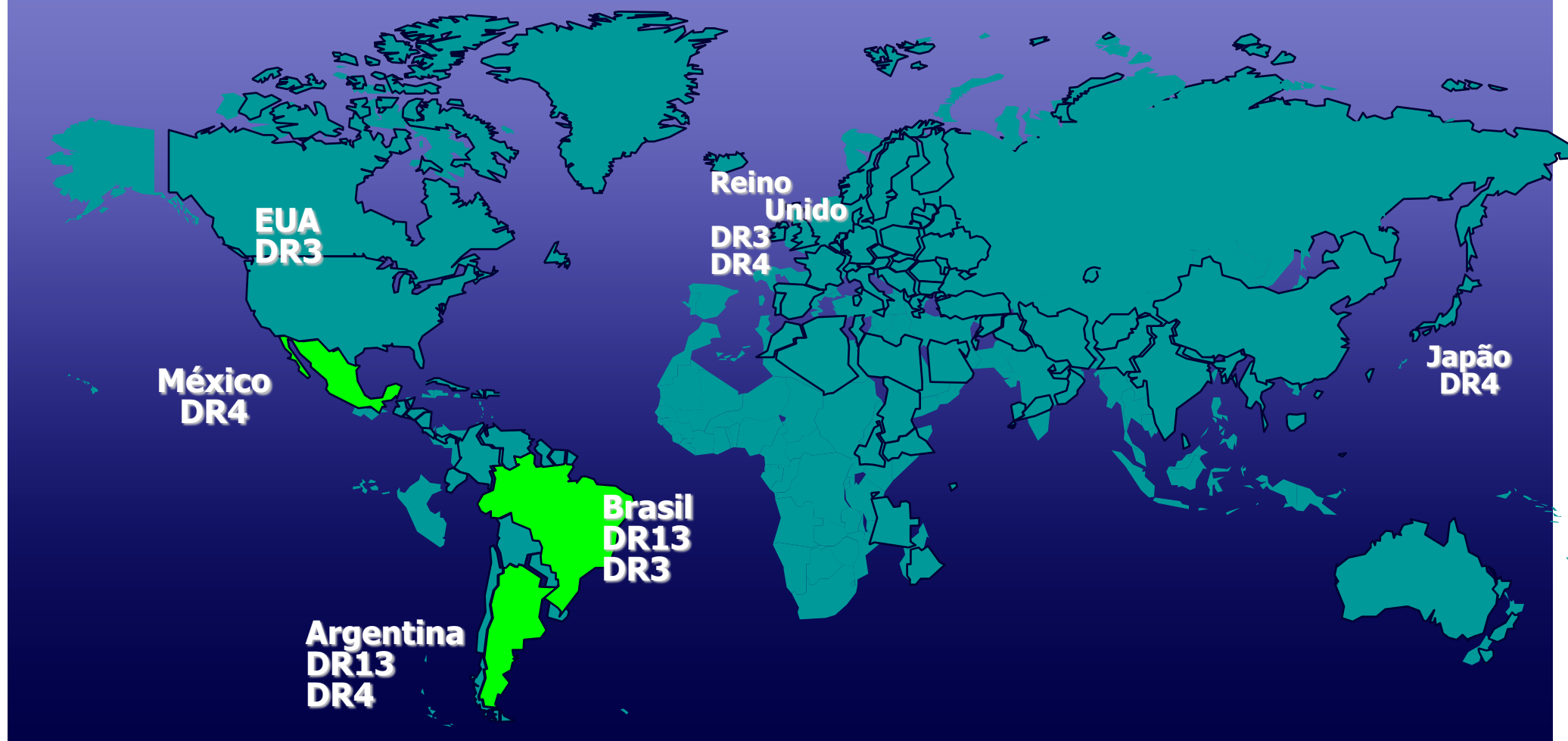
Patogênese da HAI

Fatores genéticos

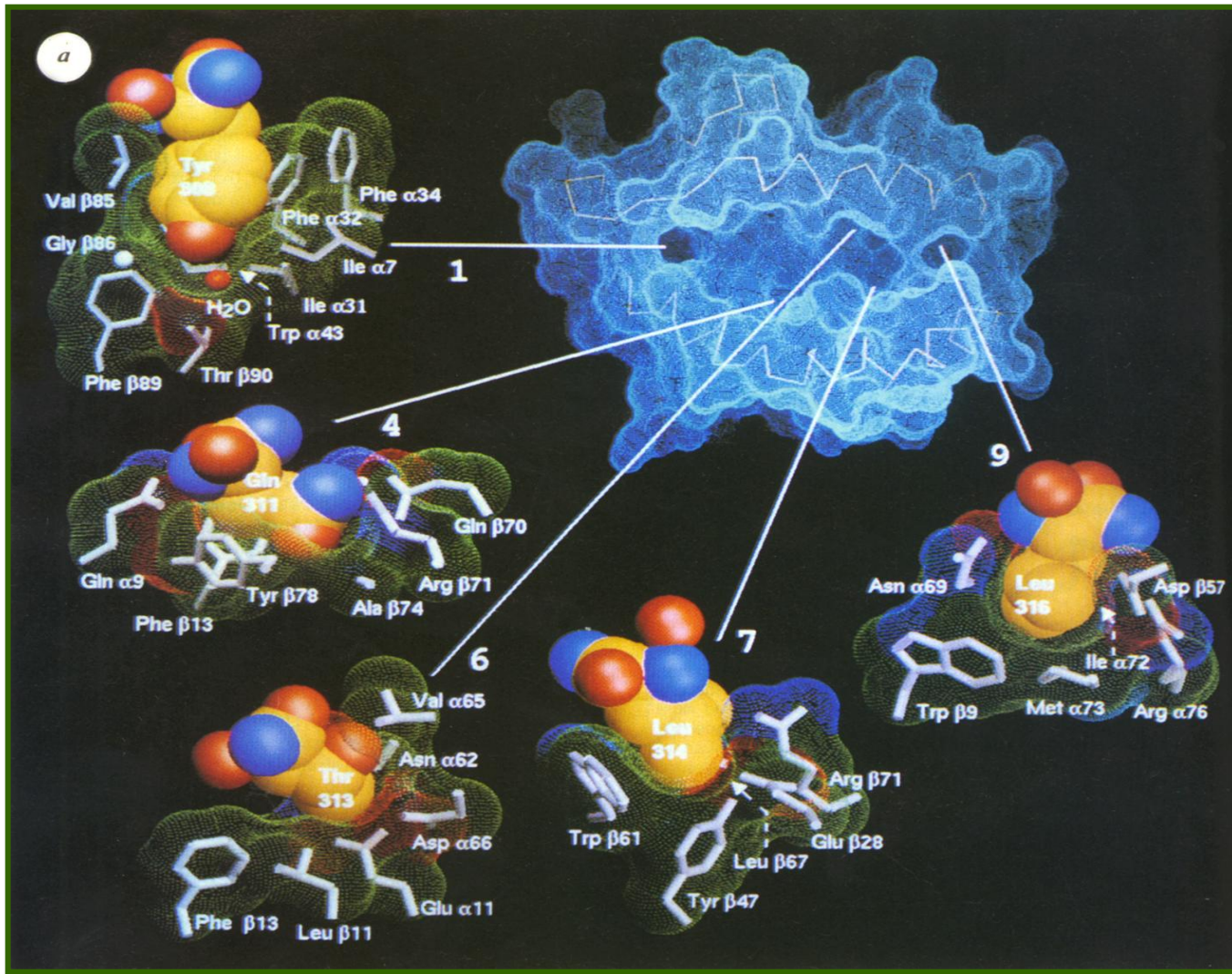
- sistema HLA
- polimorfismos na região promotora do gene para TNF- α , TGF- β
- antígenos do linfócito T citotóxico (CTL-4)
- receptor da vitamina D
- mutação no gene para tirosina fosfatase CD45

Imunogenética

Susceptibilidade à hepatite auto-imune
tipo 1 associada aos抗ígenos HLA

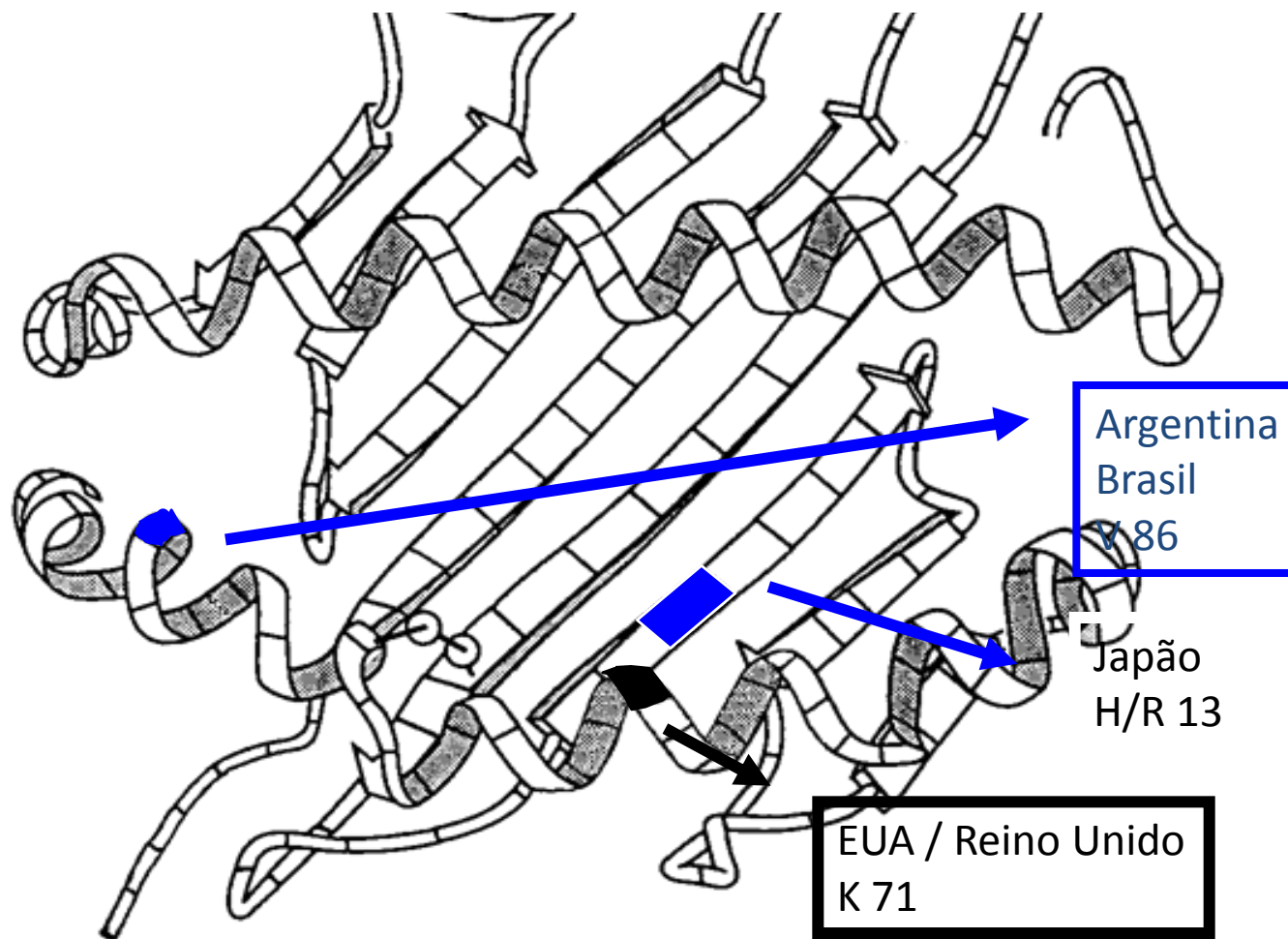


Imunogenética da HAI



Resíduos de aminoácidos presentes nos bolsões da molécula de HLA de classe II DR1

Resíduos de aminoácidos encontrados na cadeia β das moléculas de HLA-DR associadas a HAI



Susceptibilidade à hepatite auto-imune tipo 1 associada aos alelos de HLA

DRB1*0404

México

Vazquez-Garcia et al

J Hepatol 1999

DRB1*0405

Argentina (adultos)

Faimboim et al

XII IHWS 1997

DRB1*1301

Argentina (crianças)

Faimboim et al

DQB1*0603

XII IHWS 1997

DRB1*1301

Brasil

Goldberg et al

DRB1*0301

Hum Immunol 2001

Association between HLA antigens



	AIH-1	AIH-2	controls
DR3	72%	36%	26%
DR7	13%	54%	14%

Hepatite auto-imune

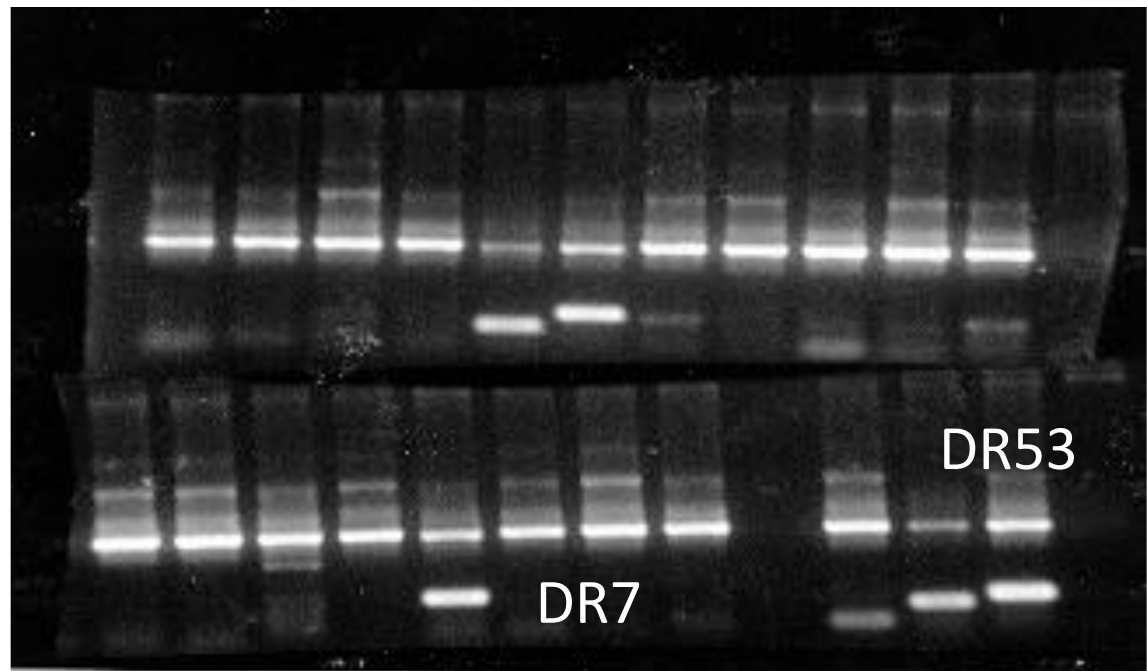
HC- FMUSP

HLA-DR e HAI - 2

HAI-2 Controles

DR7 78% vs. 20%
pc < 0.00017

DR53 89% vs. 43%
pc < 0.00004



Bittencourt P et al, 1999

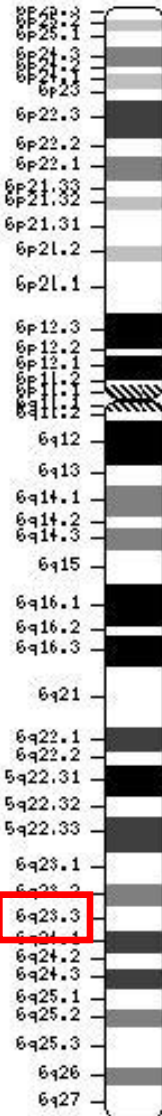
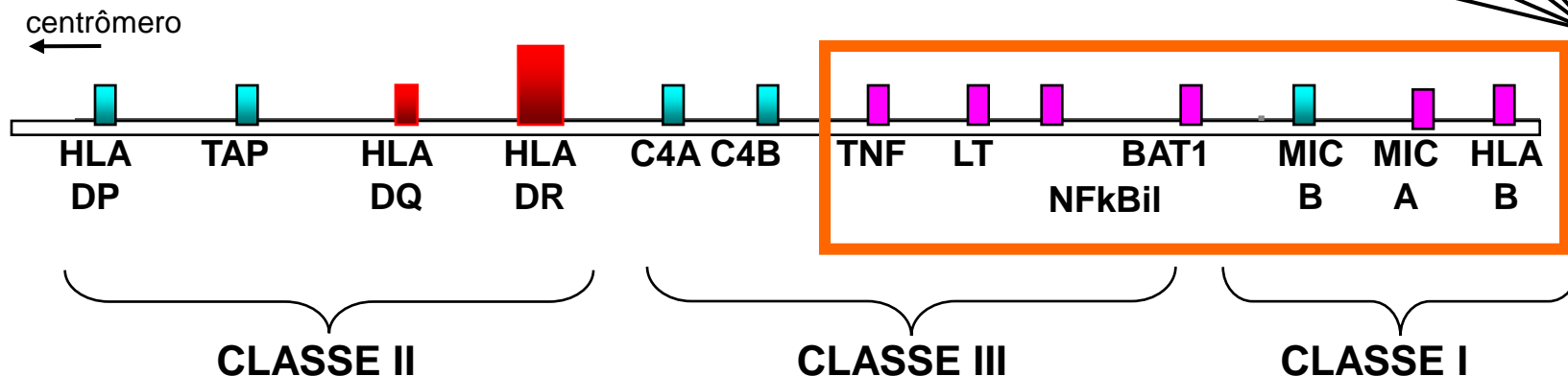
Apesar da forte associação genética com certos alelos de HLA-DR, *a maioria das pessoas com os mesmos alelos não desenvolve a doença*, indicando que possam existir outros genes próximos ao HLA-DR que conferem uma suscetibilidade adicional à doença.

Polimorfismos tipo SNPs estudados

genes presentes na região do MHC

Resposta imune

Doenças auto-imunes



Genes estudados

Na infância

- TNFA:
 - associado em crianças brasileiras (Oliveira et al., 2011)
- TNFA , LTA, BAT-1, NFKBIL1, HLA-B, MICA
 - haplótipo de suscetibilidade em crianças brasileiras – contendo DR3/B8 (haplótipo ancestral) (Oliveira et al., 2011)

TNFA-238

TNFA -238A/G	HAI-2	controle	p	χ^2	RC	95% IC
Genótipo	n=23 (%)	n=226 (%)				
AA AG GG	0 (0) 6 (26) 17 (74)	1 (4) 13 (6) 212 (93)		0,0020		
AA + AG vs GG				0,0008	11,2	5,3
Alelo						
A	6 (13)	15 (3)				
G	40 (87)	437 (97)		0,018	9,8	4,4
						1,6-11,9

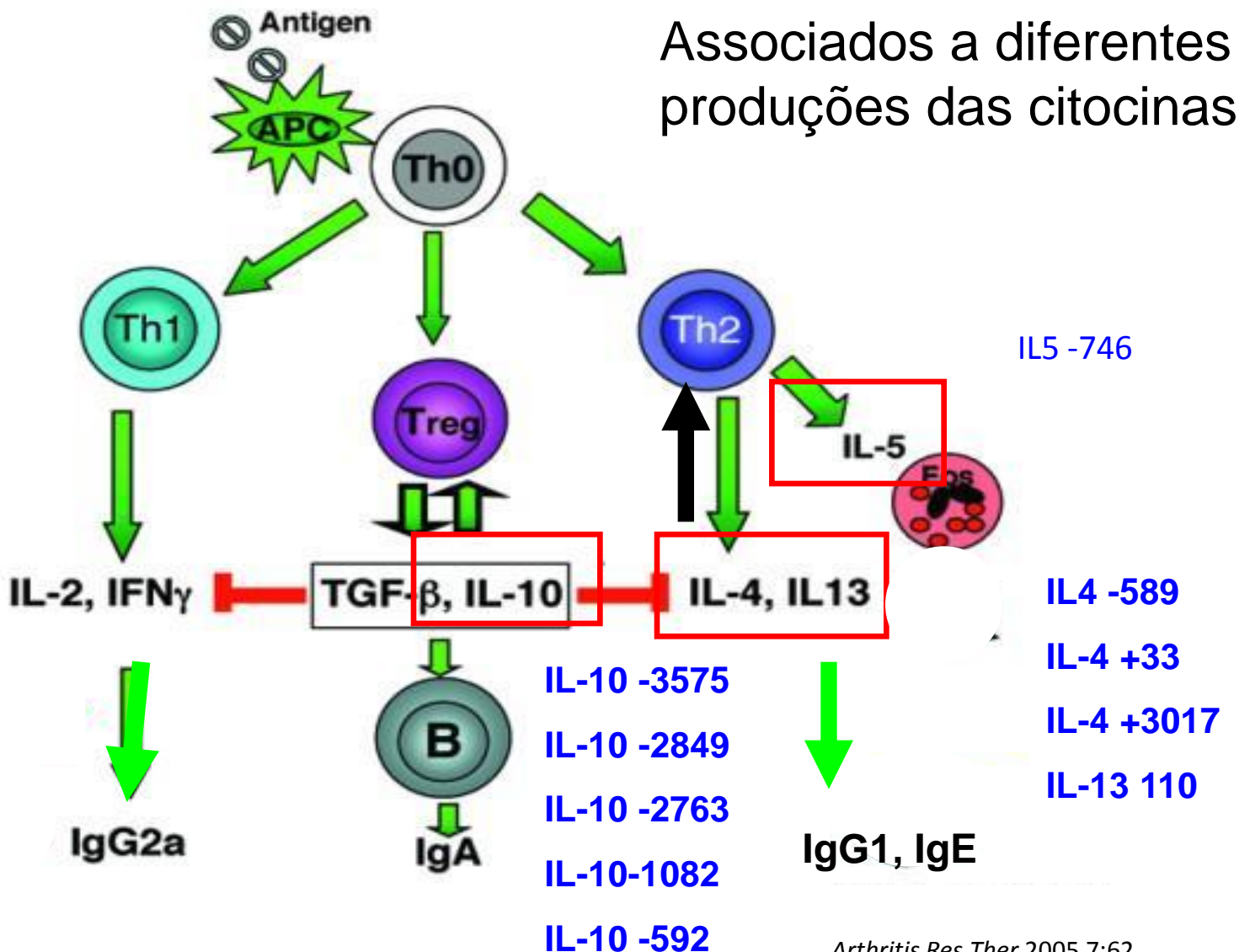
Associação com MHC	HAI-2 (%)	Controle (%)	p
<i>HLA-DRB1</i>	n=25	n=145	
07	15 (60)	14 (10)	<0,0001
03*	6** (60)	13 ** (10)	0,0035
13*	6** (60)	20** (15)	0,0045
<i>HLA-B</i>	n=25	n=227	
18	9 (36)	16 (7)	<0,0001
14	4 (16)	11 (5)	0,0196
<i>MICA</i>	n=24	n=210	
018	5 (21)	10 (5)	0,0011

*=associação secundária (sem DR07, HAI-2 n=10 e controle, n=131)

**=4/6 indivíduos carregam DR 03 e 13

Oliveira I, et al 2008

Polimorfismos tipo SNPs



The most severe forms of type I autoimmune hepatitis are associated with genetically determined level of TGF- β 1

Natalia Paladino, Ana Claudia Floresa, Hugo Fainboim, Teresa Schroder, Miriam Cuarterolo, Carol Lezama, Esteban González Ballerga, Diana Levi, Hugo Tanno, Gabriel Costanzo, Lourdes Arruvito, Leonardo Fainboim

Clinical Immunology (2010) 134, 305–312

TGF- β 1 : efeito anti-inflamatório
mantém a homeostase imune
impede doenças auto-imunes
age na fibrogênese hepática

Table 3 Data at presentation of children and adult patients with type I autoimmune hepatitis.

Group of AH patients	n	Age (years) median (range)	Male:female	% Autoantibodies positives patients (SMA/ANA)	% HLA-DR1301
PAH	117	9 (1–17)	22:85	78%/49%	54%
AAH	80	42 (18–85)	12:68	66%/61%	19%

PAH: type I autoimmune hepatitis in paediatric patients; AAH: type I autoimmune hepatitis in adult patients SMA: anti-smooth muscle antibodies; ANA: anti-nuclear antibodies.

Table 4 TGF- β 1 allele and genotype frequencies of codons 10 and 25 in HA patients.

TGF- β 1 gene polymorphism	n	Codon 10					Codon 25				
		Genotype frequency (n) %			Allele frequency ^a (n) %		Genotype frequency (n) %			Allele frequency ^a (n) %	
		C/C	T/C	T/T	C	T	G/G	G/C	C/C	G	C
Healthy controls	189	(39) 21	(95) 50	(55) 29	(173) 46	(205) 54	(156) 82.5	(32) 17	(1) 0.5	(344) 91	(34) 9
Male HC	106	(22) 21	(50) 47	(34) 32	(94) 44	(118) 56	(86) 81	(20) 19	(0) 0	(192) 90	(20) 10
Female HC	76	(17) 23	(38) 50	(21) 27	(72) 47	(80) 53	(64) 84	(11) 15	(1) 1	(139) 91	(13) 9
PAH patients	104	(35) 34	(38) 37	(31) 30	(108) 52	(100) 48	(98) 94**#	(4) 4	(2) 2	(200) 96***	(8) 4
Male PAH	18	(7) 39	(6) 33	(5) 28	(20) 56	(16) 44	(17) 95	(1) 5	(0) 0	(35) 97	(1) 3
Female PAH	83	(28) 34	(30) 36	(25) 30	(86) 52	(80) 48	(78) 94	(3) 4	(2) 2	(159) 94	(7) 4
AAH patients	74	(32) 43##	(27) 37	(15) 20	(91) 61#	(57) 39	(56) 76	(11) 15	(7) 9##	(123) 83	(25) 17
Male AAH	10	(5) 50	(4) 40	(1) 10	(14) 70	(6) 30	(8) 80	(1) 10	(1) 10	(17) 85	(3) 15
Female AAH	61	(23) 38	(25) 41	(13) 22	(71) 58	(51) 42	(47) 77	(10) 16	(4) 7	(104) 85	(18) 15

Table 5 TGF- β 1 genotype frequencies in AH patients: association with histological features.

TGF- β 1 gene polymorphism	n	Codon 10			Codon 25			Codons 10 and 25 two-position Haplotype frequency (n) %			
		Genotype frequency (n) %			Genotype frequency (n) %			10C/C ⁺	10C/C ⁺ -	10C/C ⁻	10C/C ⁻
		C/C	T/C	T/T	G/G	G/C	C/C	25G/G ⁺	25G/G ⁻	25G/G ⁺	25G/G ⁻
HC	189	(39) 21	(95) 50	(55) 29	(156) 82,5	(32) 17	(1) 0,5	(26) 14	(13) 7	(130) 69	(20) 11
PAH patients	104	(35) 34	(38) 37	(31) 30	(98) 94**#	(4) 4	(2) 2	(31) 30##	(4) 4	(66) 63	(3) 3
PAH HAI>9	71	(20) 28	(30) 42	(21) 30	(67) 94 [†]	(4) 6	(2) 3	(18) 25 [†]	(2) 3	(49) 69	(2) 3
PAH HAI<9	13	(4) 31	(4) 31	(5) 38	(11) 85	(2) 15	(0) 0	(2) 15	(2) 15	(9) 69	(0) 0
PAH cirrhotic	42	(11) 26	(17) 40	(14) 33	(38) 90	(2) 5	(2) 5	(10) 24	(1) 2	(28) 67	(3) 7
PAH non cirrhotic	32	(13) 41##	(8) 25	(11) 34	(29) 91	(3) 9	(0) 0	(10) 31 [†]	(3) 9	(19) 59	(0) 0
AAH patients	74	(32) 43##	(27) 37	(15) 20	(56) 76	(11) 15	(7) 9##	(17) 23	(14) 19**#	(40) 54	(3) 4
AAH HAI>9	49	(15) 31	(20) 41	(14) 29	(39) 80	(7) 14	(3) 6	(7) 14	(8) 16	(32) 65	(2) 4
AAH HAI<9	14	(10) 71###	(2) 14	(2) 14	(8) 57 [†]	(3) 21	(3) 21##	(5) 36 [†]	(5) 36 [#]	(3) 21##	(1) 7
AAH E 4–6	46	(14) 30	(19) 41	(13) 28	(36) 78	(5) 11	(5) 11	(6) 13	(8) 17	(30) 65	(2) 4
AAH E 0–3	16	(10) 63###	(3) 19	(3) 19	(10) 63	(3) 19	(3) 19	(5) 31	(5) 31 [#]	(5) 31##	(1) 6
AAH cirrhotic	31	(6) 19	(16) 52	(9) 29	(27) 87	(2) 6	(2) 6	(4) 13	(2) 6	(23) 74	(2) 6
AAH non cirrhotic	33	(19) 71###	(6) 18	(8) 12	(21) 53 [†]	(6) 24	(6) 24###	(8) 29	(11) 41###	(13) 24##	(1) 6

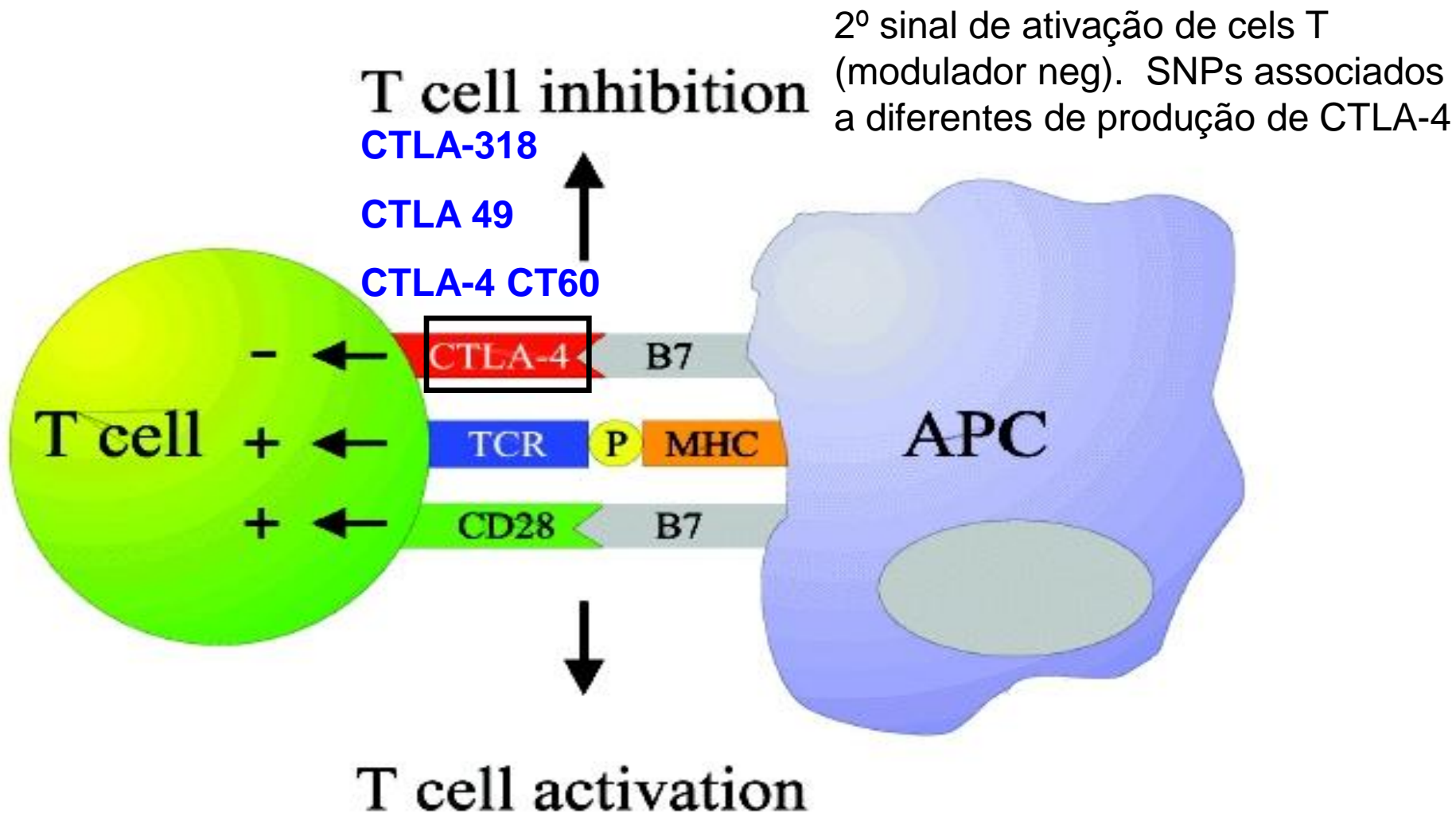
** $p_c < 0.01$ and *** $p_c < 0.001$ PAH vs. AAH. # $p_c < 0.05$, ## $p_c < 0.01$, ### $p_c < 0.001$, [†] $p < 0.05$ PAH or AAH vs. HC. Histologic activity index (HAI) ranged of 1–18 (Knodell scoring system) and the fibrosis grade (Ishak scale, E) ranged of 0–6, 6=cirrhosis. PAH: type I paediatric autoimmune hepatitis; AAH: type I adult autoimmune hepatitis; HC: healthy controls.

Genes estudados

Na infância

- IL10
 - Não encontramos associação de haplótipo de IL10 com HAI-1 (Oliveira LC, Porta G, 2008, Paladino et al 2011) – Falta de envolvimento na patogênese da doença
- IL13 e receptor de IL4
 - expressão do gene associado com a gravidade da doença (Chernavsky et al., 2004)
 - polimorfismos associados com HAI-1 (Oliveira LC, Porta G, 2008)

Polimorfismos tipo SNPs estudados



Frequência alélica e genotípica do polimorfismo *CTLA4* –CT60A/G

CTLA4 CT60A/G	HAI-1	CLT	
Genótipo	n=86	n=181	p
AA	12 (14)	42 (23)	
AG	42 (49)	87 (48)	0,1491
GG	32 (37)	52 (29)	
AA vs GG			0,0508
AA vs AG + GG			0,0787
AA + AG vs GG			0,1632
Alelo	2n=164	2n=362	
A	66 (38)	171 (47)	
G	106 (62)	191 (53)	0,0540

Frequência haplotípica dos polimorfismos

– 318C/T, 49A/G e CT60AG de gene CTLA-4

CTLA-4			AIH-1		CTL		p	RC	IC
-318C/T	+49A/G	CT60A/G	2n=170		2n=352				
C	A	A	59 (34)		164 (47)		0,0101	0,61	[0,417-0,89]
C	A	G	39 (23)		51 (15)		0,0166	1,76	[1,104-2,797]
C	G	G	51 (30)		114 (32)		0,5826		
T	A	G	14 (8)		22 (6)		0,4011		

2n= número de cromossomos; χ^2 =qui quadrado; RC= razão de chances

Avaliação clínica laboratorial e tratamento

Achados clínicos

	I. Criança HAI-1 n=62	King's HAI-1 n=32	I. Criança HAI-2 n=17	King's HAI-2 n=20
Idade ao diagnóstico mediana(anos)	8.7 (2-13.8)	10.5 (2.3-14.9)	3.0 (1.3-12)	7.4 (0.8-14.2)
Feminino %	77.5	75	94.1	75
Dças AI %	3.2	22	35.3	20
Dças AI nos familiares %	11.3	43	17.6	40

Antecedentes familiares

	HAI-1(n=87)	HAI-2(n=22)
Tireoidite	12	6
Vitiligo	4	0
Nefrite	1	0
DM 1	0	2
Doença Behçet	0	1
Total	17(19,5%)	8 (36,4%)

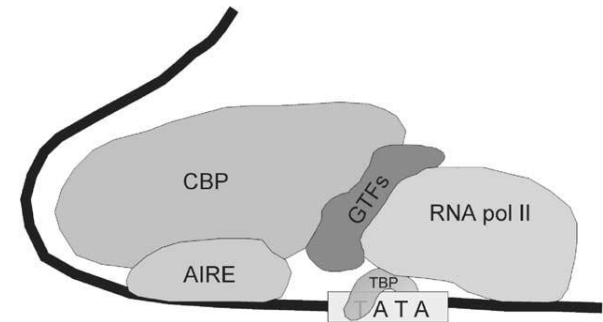
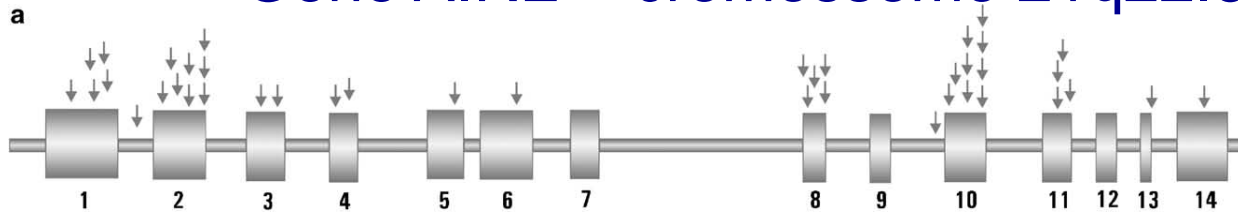
Manifestações extra-hepáticas

	HAI-1	HAI-2
Tireoidite	3	3
DM1	1	2
RCUI	1	0
Hematúria	1	0
Paniculite		
de Weber	0	1
Artrite	1	
D. Celíaca	2	
Enterite crônica	1	
	10 (8,7%)	6(27,7%)

Doenças associadas com hepatite auto-imune

- poliendocrinopatia-candidíase-distrofia ectodérmica (APECED), autossômica recessiva, gene 21q22.3
- febre periódica-estomatite aftosa-faringite-adenite cervical (PFAPA)
- síndrome da deleção 22q13
- anemia hemolítica auto-imune infantil com hepatite de células gigantes (AIHA-GCH)
- comprometimento hepático no LES
- transformação gigante celular sincicial

Gene AIRE – cromossomo 21q22.3

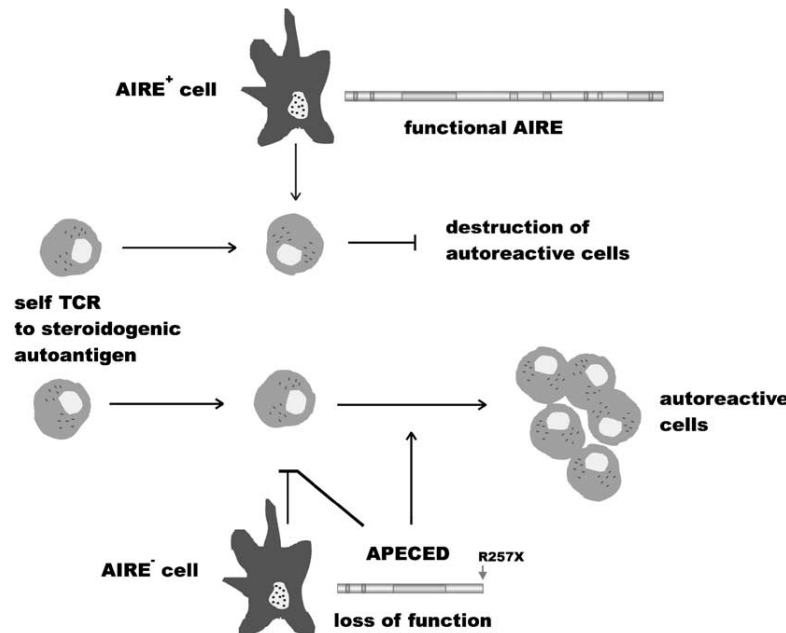


Sítios identificados de mutações APECED (46 mutações)

R257X - 83% Finlândia

967-979del13bp – 70% Grã-Bretanha e 53% EUA

AIRE no desenvolvimento da tolerância



Normal

AIRE facilita destruição de cél T que tem TCR para autoAg
APECED (21-hidroxilase, 17alfa-hidroxilase, enzima clivadora da cadeia lateral, autoAg do diabetes I (GAD 65, GAD 67)

APECED

Qdo AIRE é defeituoso, as cél T autoreativas proliferam, levando à quebra da tolerância e fenômenos AI dirigidos contra órgãos que expressam os autoAg

AIRE Gene Analysis in Children With Autoimmune Hepatitis Type I or II

*Tim O. Lankisch, †Olivia Mourier, ‡Etienne M. Sokal, †Dalila Habes, §Florence Lacaille,
¶Laure Bridoux-Henno, †Bogdan Hermeziu, ||Catherine Lenaerts,
*Christian P. Strassburg, and †Emmanuel Jacquemin

JPGN 2009; 48:498-500

25 crianças (14 F; 2-16 anos)
Tipo I II
n 19 6
DAI extra-hep e/ou história familiar +
 8 2

TABLE 1. Characteristics of the children with AIH type I and p.Ser278Arg variant

	Patient 1	Patient 2	Patient 3	Patient 4
Age at diagnosis, y	12	14	3	6
Sex	F	F	M	M
Autoantibodies	SMA 1:640	ANA 1:320 pANCA 1:80 Anti-thyreoglobulin	ANA 1:400 SMA 1:200	ANA 1:600 SMA 1:800
Extrahepatic	No	Thyroiditis with hypothyroidism	No	No
Immune disease		Candidiasis, enamel dental hypoplasia		
Family history of autoimmune disorders	No	Mother and maternal grandmother: thyroiditis with hypothyroidism	Mother: polyarteritis nodosa, thyroiditis with hypothyroidism, autoimmune hepatitis	Yes, brother of patient 3
AIRE gene	Heterozygous S278R Transmission unknown	Heterozygous S278R Transmission father	Heterozygous S278R Transmission mother	Heterozygous S278R Transmission mother

ANA = anti-nuclear antibodies; SMA = smooth-muscle antibodies.

Mutação missense heterozigota no exon 7 – substituição de serina por arginina
Frequencia alélica desta variante polimórfica foi pelo menos 3x > controles sadios

Mutação heterozigota no gene AIRE pode representar predisposição genética para HAI tipo 1 em crianças

Modo de apresentação

	I. Criança HAI-1 N=62	King's HAI-1 N=32	I. Criança HAI-2 N=17	King's HAI-2 N=20
Hepatite aguda (%)	82	50	94	65
Insuficiência hepática aguda (%)	0	3	5.8	25
Insidioso (%)	16	38	0	25
Assintomático (%)	2	0	6	0
Complicações de hipertensão portal (%)	4.5	12	0	10

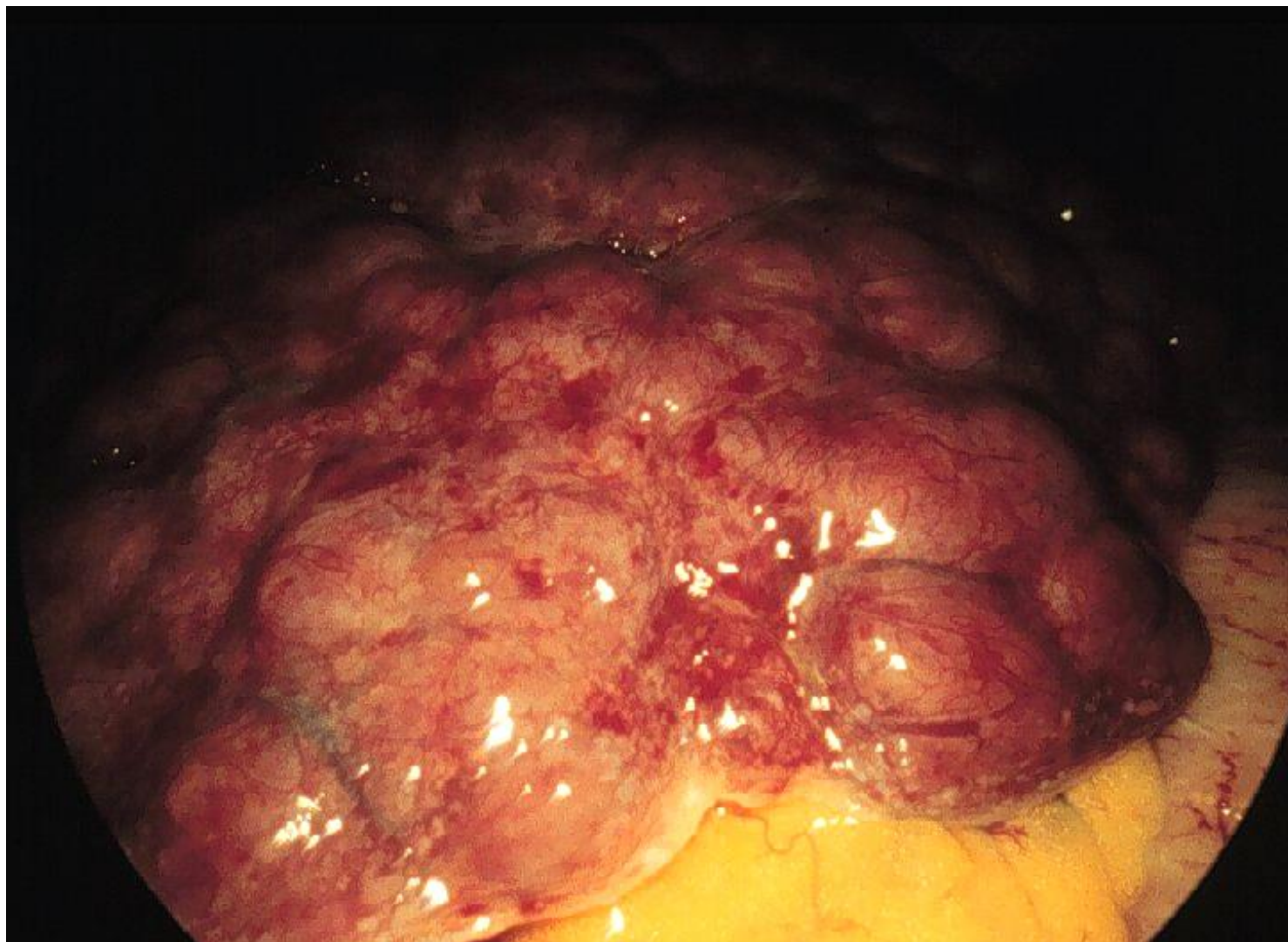
Exames laboratoriais

	I.Criança	King's	I.Criança	King's
	AIH-1 N=62	AIH-1 N=32	AIH-2 N=17	AIH-2 N=20
AST (xUNL)	24.4	12.6	27.1	22.9
Hipoalbuminemia (%)	52	53	40.1	30
IgG elevado (%)	97.7	80	82.4	50
Deficiência IgA (%)	0	9	17	45
Deficiência C4 (%)	66.7	89	40	83

Exames laboratoriais

	AIH-1 media ± dp	AIH-2 media ± dp	p
Gama	3.75 ± 1.24	2.43 ± 1.03	0.0001
IgA	303 ± 170	194 ± 132	0.0032
IgM	289 ± 164	217 ± 93.5	0.0755
IgG	4106 ± 1704	2563 ± 1224	0.0002
C3 (low)	26	7	0.708
C4 (low)	50	8	0.058

Hepatite auto-imune



Histopatologia

	I. Criança	King's	I. Criança	King's
	HAI-1 n = 56	HAI-1 n = 29	HAI-2 n = 17	HAI-2 n = 18
Cirrose (%)	32 (57.1)	18 (69.0)	13 (76.5)	5 (38.0)
Hepatite crônica (%)	20 (32.1)	13 (31.0)	4 (23.5)	13 (62.0)

Tratamento

- Prednisona/Prednisolona

tratamento diário

1.0 - 2 mg/kg/dia (maximo 60 mg/dia)
gradualmente diminui período 4-8 semanas - 2.5 – 5 mg/dia
dependendo da idade

- Azatioprina – 1-2 mg/kg/dia
- Diariamente, nunca parar antes e durante a puberdade

Tratamento

Monitorização

Follow-up – clínico e bioquímico



Instituto da Criança
Hospital das Clínicas - FMUSP

- 6 - 8 semanas nos primeiros 6 meses
- 3 - 4 meses durante 2-3 anos
- 2 anos após exames normais – bx hepática

Exames:

- Hematológicos
- AST/ALT/GGT/FA
- Gamaglobulina/ IgG
- TP, TTPA
- BTF

Anualmente:

- Autoanticorpos
- Ca, P
- DO
- Oftlamologia

Tratamento

Efeitos adversos

Prednisona/prednisolona:

Anual: monitorizar osteoporose/ osteopenia

glicemia

velocidade de crescimento

alterações oculares

Azatioprina

Efeitos citotóxicos: monitorizar leucócitos /plaquetas

Tratamento



Definição de remissão

- ❖ níveis normais de transaminases
- ❖ níveis normais de IgG
- ❖ baixos títulos ou negativos de autoAc

Tratamento

	HAI-1	HAI-2	p
<i>Remissão</i>			
I.Criança	65%	95%	<i>0.012</i>
King's	97%	87%	
<i>Tempo para remissão (meses)</i>			
I.Criança	9.2 ± 6.3	6.0 ± 4.8	<i>0.05</i>
King's	6.0	9.0	

Tratamento



Instituto da Criança
Hospital das Clínicas - FMUSP

Tipo de resposta	HAI-1	HAI-2
Completa	32 (66,6%)	14 (87,6%)
Parcial	13 (27,0%)	1 (6,2%)
Ausente	4 (8,4%)	1 (6,2%)

$$p = 0,096$$

Tratamento

Critérios para suspender tratamento

No universal guidelines are available regarding timing of withdrawal of immunosuppressive therapy

Tratamento

Critérios para suspender tratamento

1. HAI-1

I.Criança



Pelo menos 3 anos
Critérios: pelo menos 2 anos
EH normais e IgG/ gama globulina
Sem inflamação bx hepática

King's



Pelo menos 3 anos
Critérios: pelo menos 1 ano
EH normais e IgG, Auto Ac negativos
ou baixos títulos
Sem inflamação bx hepática

2. AIH-2

nunca suspender

Tratamento suspenso



Instituto da Criança
Hospital das Clínicas - FMUSP



HAI-1 - 19.2 %

Recaída - 45.5%

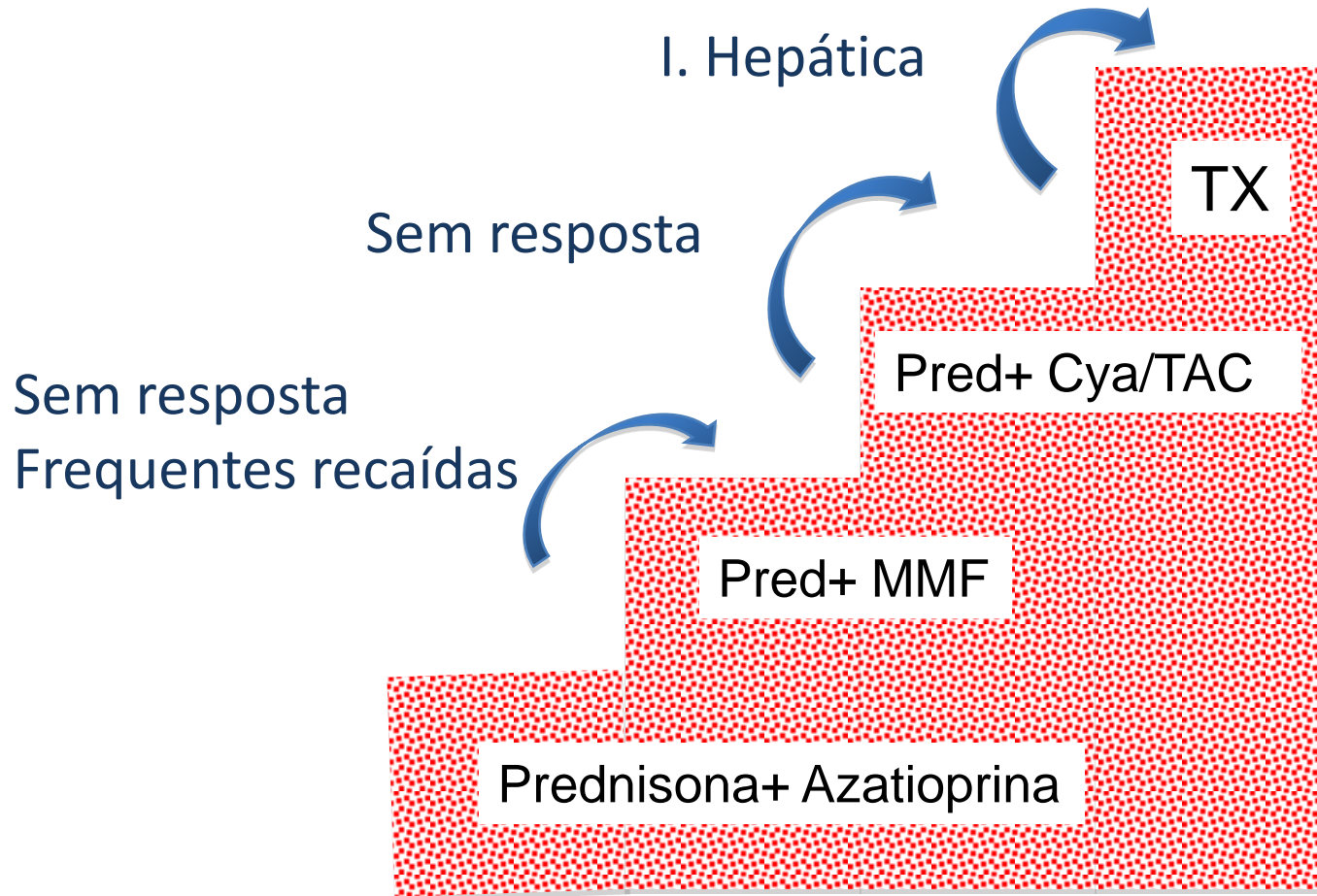
HAI-2 - 0%



HAI-1 – 19%

HAI-2 - 0%

Tratamentos alternativos



Tratamentos alternativos

Ciclosporina A

- remissão em 25/32 crianças com CyA por 6 meses
- CyA + prednisolona + azatioprime por 1 mes
manutenção - prednisolona + azatioprina

Alvarez et al, J Hepatol 1999;30:222

Tratamentos alternativos

Ciclosporina A

Vantagem:

Poucos efeitos adversos dos corticosteróides

Desvantagens:

Efeitos colaterais ?

Remissão de 78% v 94% com prednisona/azatioprina

Manutenção com prednisona + azatioprine

Guidelines AASLD 2010 - ainda não está bem definido,
necessitando de estudos adicionais

Tratamentos alternativos

Micofenolato mofetil (MMF)

King's 1999-2004



- 26* crianças intolerantes/resistentes a azatioprina ou frequentes recaídas: 16 HAI e 10 CA
- mediana 14.9 meses (0.2-108.6) do diagnóstico

* 6 - CyA, 2 - tacrolimus

Tratamentos alternativos

Micofenolato mofetil (MMF)

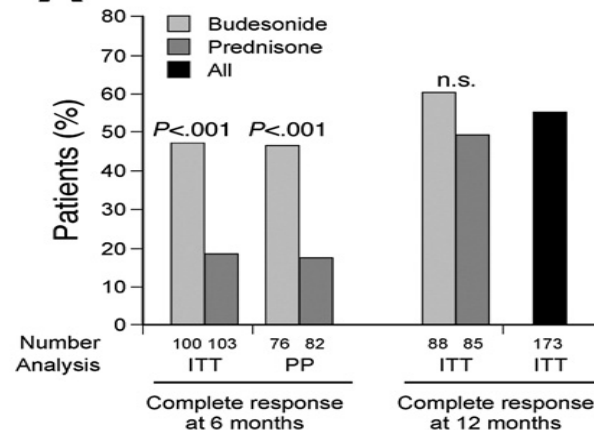
King's 1999-2004

- 18/26 boa resposta : 14 HAI e 4 CA
14 normal AST
4 (HAI) AST < 2x ULN
- 8/26 sem resposta: 2 HAI e 6 CA
- 4 suspenderam por efeitos adversos
(depressão de medula óssea, diarréia)

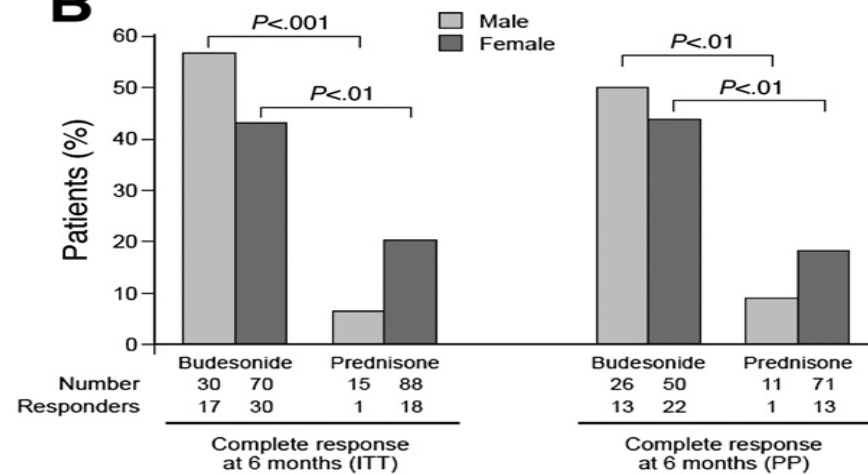
Tratamento alternativo - Budesonida

Resposta completa

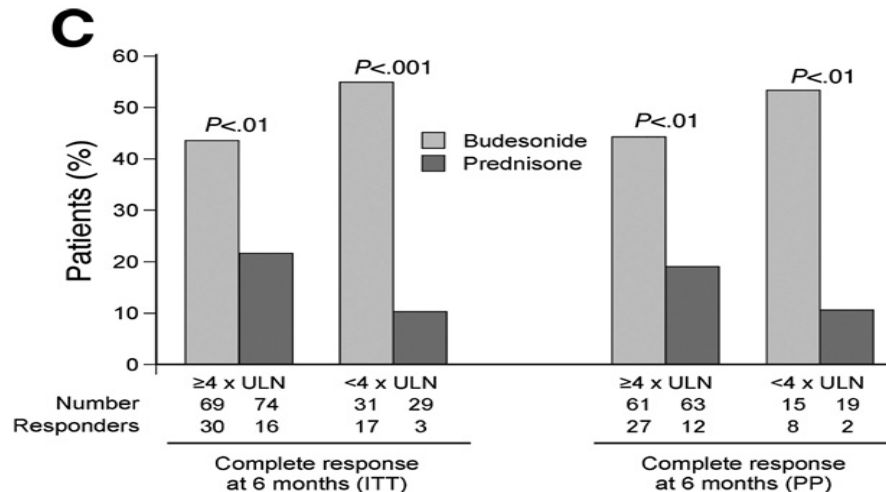
A



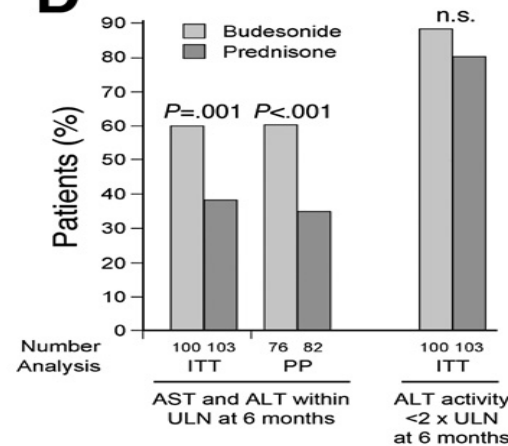
B



C

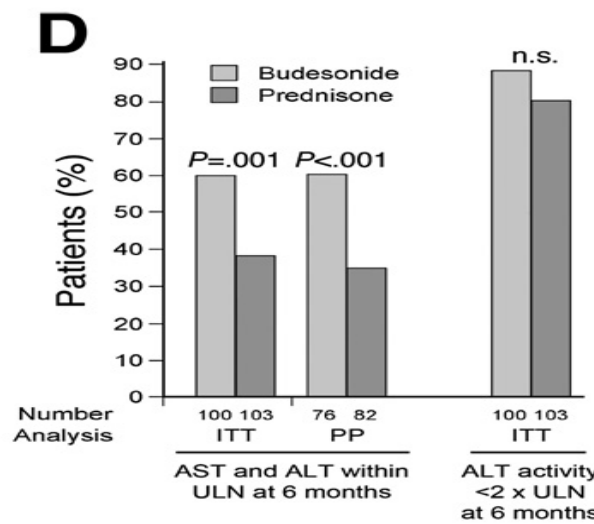
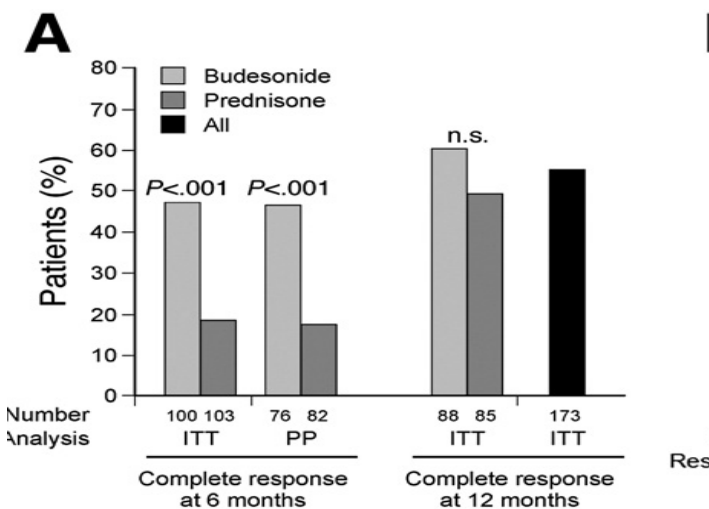


D



Tratamento alternativo - Budesonida

Resposta completa



AST e ALT normais
sem efeitos adversos dos
esteróides

ITT = *intention to treat*

PP = *per protocol*

Resposta completa aos 6m
X

ALT < 2x LSN aos 6m

Manns MP et al. Gastroenterology 2010; 139:1198-1206

Tratamento alternativo - Budesonida

- Efeitos adversos

28% - Budesonida vs 53,4% - Pred $p < 0.001$

Pred vs Bud: EA 44.8 → 26.4% $p < 0.002$

- Taxa de remissão 6m após tratamento:

60% - Budesonida vs 38.8 %- Pred $p = 0.001$

- Alternativa para diabéticos

- Contra-indicada em pt com cirrose

Conclusões

- Diferenças clínicas e laboratoriais entre HAI-1 e HAI-2
- Quadro clínico, laboratorial e histopatológico semelhante entre dois grupos de etnia distinta
- 1^a linha de tratamento - Uso convencional de corticosteróides associado a azatioprina
- O tempo de tratamento dependerá da resolução dos sintomas laboratório e histologia
- Tratamentos alternativos podem ser utilizados como terapia de salvamento

Agradecimentos

Lea Campos de Oliveira

Paulo L. Bittencourt

Eduardo L. R. Cançado

Irene K. Miura

Vera L B Danesi

Anna Carla Goldberg

Maria Lucia Marin

Clarice Abrantes-Lemos

Renata P.S. Pugliese

Jorge Elias Kalil